

El Castellón

Un centro de poder en la Meseta del Duero posromana

José Carlos Sastre Blanco, Patricia Fuentes Melgar,
Raúl Catalán Ramos e Iñaki Martín Viso
(eds.)

eman ta zabal zazu



Universidad Euskal Herriko
del País Vasco Unibertsitatea

CIP. Biblioteca Universitaria

El **Castillón** [Recurso electrónico]: un centro de poder en la Meseta del Duero posromana / José Carlos Sastre Blanco... [et al.](eds.). – Datos. – [Leioa] : Universidad del País Vasco / Euskal Herriko Unibertsitatea, Argitalpen Zerbitzua = Servicio Editorial, [2024]. – 1 recurso en línea : PDF (280 p.). – (Documentos de Arqueología Medieval ; 20)

Modo de acceso: World Wide Web.

Incluye referencias bibliográficas.

ISBN: 978-84-9082-550-1.

1. El Castillón (España: Emplazamiento arqueológico). 2. Excavaciones (Arqueología) – Zamora. 3. España – Antigüedades. I. Sastre Blanco, J. C., coed.

(0.034)904(460.184)

Documentos de Arqueología Medieval

Esta colección de monografías tiene como fin editar estudios, actas de encuentros, tesis o memorias de excavación en el campo de la Arqueología y la Historia Postclásica siguiendo criterios de calidad. Todos los textos publicados han sido revisados por evaluadores externos siguiendo protocolos en uso en las revistas referenciadas. Se aceptan textos en distintos idiomas, y solamente se publicarán trabajos inéditos. El Comité Científico está formado por los siguientes investigadores:

The aim of this collection is to edit monographs, proceedings, dissertations and archaeological reports from Postclassical Archaeology and History, with quality criteria. Referees, following protocols in use in the quoted journals, will evaluate the texts; the internationalization of the research will prevail, with publication made in different languages. Only original texts will be accepted. The advisor board is made up of the following scholars:

Alberto García Porras (Universidad de Granada)
Alejandro García Sanjuán (Universidad de Huelva)
Alfonso Vigil-Escalera Guirado (Universidad de Salamanca)
Andrew Reynolds (University College London)
Catarina Tente (Universidade Nova de Lisboa)
Giovanna Bianchi (Università degli Studi di Siena)
Helena Catarino (Universidade de Coimbra)
Helena Kirchner Granell (Universitat Autònoma de Barcelona)
Igor Santos Salazar (Università degli Studi di Padova)
Iñaki Martín Viso (Universidad de Salamanca)
Jorge Alejandro Eiroa Rodríguez (Universidad de Murcia)
José Avelino Gutiérrez González (Universidad de Oviedo)
Juan Antonio Quirós Castillo (Universidad del País Vasco/Euskal Herriko Unibertsitatea)
Juan Carlos García Armenteros (Universidad de Jaén)
Julio Escalona Monge (Consejo Superior de Investigaciones Científicas, Madrid)
Margarita Fernández Mier (Universidad de Oviedo)
Olatz Villanueva Zubizarreta (Universidad de Valladolid)
Santiago Castellanos (Universidad de León)

Editorial board

Juan Antonio Quirós Castillo (director); Julio Escalona Monge, Margarita Fernández Mier, Iñaki Martín Viso
Correspondence/Correspondencia: dam@ehu.es

Comité Editorial



© Euskal Herriko Unibertsitateko Argitalpen Zerbitzua
Servicio Editorial de la Universidad del País Vasco

ISBN: 978-84-9082-550-1

Motivo de la portada: *Visión aérea de El Castillón*. Autor: Jaime Valiente Blasco.

ÍNDICE

Resumen, Abstract	9
Agradecimientos	11
Índice de figuras	13
Índice de tablas	19
Índice de gráficas	21
1. Introducción. Una mirada sobre los asentamientos rurales fortificados en la Meseta del Duero posromana <i>Iñaki Martín Viso</i>	23
2. El yacimiento de El Castellón (Santa Eulalia de Tábara, Zamora): historia de las investigaciones <i>Patricia Fuentes Melgar, José Carlos Sastre Blanco, Óscar Rodríguez Monterrubio, Raúl Catalán Ramos, Manuel Vázquez Fadón, Raquel Portilla Casado</i>	47
3. Las fases de ocupación a través de las campañas	65
3.1. Testigos Prehistóricos en el Abrigo de El Castellón (Santa Eulalia de Tábara, Zamora) <i>Patricia de Inés Sutil, Manuel Vázquez Fadón</i>	67
3.2. La ocupación durante la II Edad del Hierro en el yacimiento de El Castellón y su entorno <i>Óscar Rodríguez Monterrubio, Raquel Portilla Casado</i>	73
3.3. Evolución de la ocupación posromana (siglos V-VI) hasta la Edad Media en El Castellón <i>José Carlos Sastre Blanco, Patricia Fuentes Melgar, Raúl Catalán Ramos, Noelia Hernández Gutiérrez</i>	83
4. Análisis de las evidencias materiales	101
4.1. Prospección magnética y contrastación de resultados, en el poblado de El Castellón <i>Miguel Ángel Brezmes Escribano, Iván García Vázquez, David Hernández González, Christian Marina-Fernández Peña, Raúl Martín Vela, José Carlos Sastre Blanco, Patricia Fuentes Melgar, Manuel Vázquez Fadón, Alicia Tejeiro Pizarro, Laura Cabanillas Rovira</i>	103
4.2. Arqueozoología del área metalúrgica de El Castellón <i>Óscar González-Cabezas; Rodrigo Portero Hernández; Miriam Andrés Chaín, Jesús Tapia Sagarna; Mikelo Elorza Espolosin, Esteban Álvarez-Fernández</i>	129
4.3. Estudio arqueomagnético de estructuras de combustión: nuevos datos direccionales y de intensidad, datación arqueomagnética <i>Alberto Molina-Cardín, Alicia Palencia-Ortas, María Luisa Osete</i>	151

4.4. El trabajo metalúrgico posromano a orillas del Esla <i>Desirée Fernández Amado, Rebeca García de la Cruz</i>	161
4.5. Análisis antropológico de las tumbas infantiles de la Estancia 2 del edificio medieval de El Castellón <i>María Haber Uriarte</i>	177
4.6. Material numismático de la iglesia altomedieval de El Castellón (Santa Eulalia de Tábara, Zamora) <i>Alberto Martín Esquivel</i>	187
4.7. Las producciones cerámicas de los siglos v y vi: contextualización de un repertorio cerámico de transición <i>Raúl Catalán Ramos, Patricia Fuentes Melgar, José Carlos Sastre Blanco</i>	201
5. Una interpretación global de El Castellón en época posromana <i>José Carlos Sastre Blanco, Raúl Catalán Ramos, Patricia Fuentes Melgar, Iñaki Martín Viso, Raquel Portilla Casado, Óscar Rodríguez Monterrubio, Manuel Vázquez Fadón</i>	219
Criterios de evaluación y normas de publicación de la serie «Documentos de Arqueología Medieval»	275
Títulos publicados	279

Resumen

En este volumen se recogen los resultados de las investigaciones que se han llevado a cabo en el yacimiento de El Castellón (Santa Eulalia de Tábara, Zamora), desde el año 2007, han permitido identificar un poblado con una prolongada ocupación en el tiempo, con ocupaciones que se remontarían hasta la Edad del Hierro, pero con un creciente desarrollo entre los siglos V al VI, prolongándose su ocupación hasta el siglo XII-XIII. No obstante, el libro se centra en estudiar la fase posromana, donde se percibe la configuración de un importante asentamiento amurallado. Los diversos estudios ponen de relieve la relevancia económica, social y política de este lugar que debe ser entendido como un centro de poder en el marco de las transformaciones que sufrió la Meseta del Duero durante los momentos postimperiales.

El trabajo multidisciplinar que se ha realizado recoge las principales analíticas que se han llevado a cabo en diferentes ámbitos de la investigación, como el paleomagnetismo, antropología, arqueozoología, magnetometría, metalurgia, numismática o estudios ceramológicos. En este trabajo se plasman todos los resultados de los trabajos de investigación que se han llevado a cabo, incidiendo en las principales características de este enclave, que determinan su evolución, con especial énfasis en los siglos V-VI. De todos modos, hay una ocupación posterior, de los siglos IX-X en adelante que tiene sus propias dinámicas, por lo que debe ser objeto de estudios más específicos.

Abstract

This volume contains the results of the research carried out at the site of El Castellón (Santa Eulalia de Tábara, Zamora) since 2007, which has led to the identification of a settlement with a long occupation over time, with sequences dating back to the Iron Age, but with increasing development between 5th and 6th centuries, extending to 12th-13th century. However, the book focuses on the post-Roman phase, where the configuration of an important fortified site can be perceived. The various studies highlight the economic, social and political relevance of this place, which must be understood as a «central place» within the framework of the transformations that the Duero Plateau underwent during the post-imperial times.

The multidisciplinary work that has been carried out brings together the main analyses that have been carried out in different fields of research, such as palaeomagnetism, anthropology, archaeozoology, magnetometry, metallurgy, numismatics and ceramological studies. This work reflects all the results of the research work that has been carried out, focusing on the main characteristics of this site, which determine its evolution, with special emphasis on the 5th-6th centuries. In any case, there is a later occupation, from the 9th-10th centuries onwards, which has its own dynamics and should therefore be the subject of more specific studies.

Agradecimientos

Consideramos muy importante agradecer a todas las personas, instituciones, organismos, asociaciones y empresas, que de una forma u otra han colaborado en este proyecto de investigación. En primer lugar, a D. Francisco Javier Martínez de Irujo, propietario de los terrenos donde se ubica el yacimiento de El Castillón, cuya colaboración ha sido fundamental para poder realizar estos trabajos de excavación.

Agradecer también la colaboración que nos ha prestado la Junta de Castilla y León para llevar a cabo este proyecto, a la Arqueóloga del Servicio Territorial de Cultura de Zamora, Dña. Hortensia Larrén Izquierdo, a la directora del Museo de Zamora, Dña. Rosario García Rozas y a todo su personal.

Queremos agradecer toda la ayuda y apoyo que nos han prestado en los numerosos análisis realizados, gracias a la colaboración del Profesor Dr. Esteban Álvarez Fernández, del Departamento de Prehistoria y Arqueología de la Universidad de Salamanca, para la realización de análisis de Arqueozoología. Al Profesor Dr. Antonio José Criado Portal, del Grupo de Arqueometalurgia de la Universidad Complutense de Madrid, con relación a los análisis metalúrgicos. Al equipo dirigido por la Dra. María Luisa Osete del Departamento de Geofísica y Meteorología de la Facultad de Ciencias Físicas de la Universidad Complutense de Madrid, en relación a los análisis de paleomagnetismo. A la Dra. María Haber Uriarte del Departamento de Prehistoria, Arqueología, Historia Antigua, Historia Medieval y Ciencias y Técnicas Historiográficas, Facultad de Letras, Universidad de Murcia, por los estudios antropológicos efectuados. Al equipo de la Dra. Leonor Chocarro Peña, del Departamento de Arqueología y Procesos Sociales del CSIC, en relación a los estudios de antracología y carpología que se llevan a cabo. A todo el equipo de la empresa Arbotante Arqueología e Innovación, por los estudios geofísicos de magnetometría que se han llevado a cabo y a Beta Analytics por las dataciones de C14 que se han efectuado sobre diversos materiales.

Queremos agradecer el asesoramiento científico que nos ha permitido llevar a cabo estas investigaciones, gracias a la inestimable ayuda de Francisco Contreras Cortés (Universidad de Granada); Ángel Esparza Arroyo (Universidad de Salamanca), José Avelino Gutiérrez González (Universidad de Oviedo), Enrique Ariño Gil (Universidad de Salamanca), Alfonso Vigil-Escalera y José María Tejado Sebastián.

Muy especialmente a dos personas que están en nuestra memoria, que siempre nos apoyaron, como son Jesús Liz Giral (Universidad de Salamanca) y Benjamín Fernández Rivera (Museo de Zamora).

A toda la gente de la localidad zamorana de Santa Eulalia de Tábara y en especial a aquellas personas que de manera individual han querido colaborar en este proyecto. A sus alcaldes (Antonio Ferrero Guerra, Juan Carro de la Fuente y Santiago González Calvo), por toda la ayuda, amabilidad e interés que han mostrado por este proyecto, así como a los presidentes y todas las personas que forman parte de la Asociación Cultural de Santa Eulalia de Tábara y la Asociación Cultural A.M.E.C.S.E.T.A, gracias por su inestimable ayuda.

Queremos agradecer también a los habitantes de localidades como Tábara, Moreruela de Tábara, Faromontanos de Tábara, Pozuelo de Tábara, La Granja de Moreruela y Zamora, entre otros, por la colaboración y el interés mostrado en estas investigaciones.

También agradecemos la ayuda prestada por la Fundación Caja Rural de Zamora, y su presidente Feliciano Ferrero, por el interés que han mostrado en este proyecto y en la arqueología zamorana.

A todos los compañeros de la Asociación Científico-Cultural ZamoraProtohistórica, por todo el trabajo desarrollado, su compañerismo y su incansable ayuda, y a los más de 200 voluntarios que han colaborado en este proyecto, procedentes de todos los lugares de España y países como Francia, Portugal, Irlanda, Italia, Grecia, Reino Unido, Austria, Rumania, Polonia, Rusia, Croacia, Serbia, Lituania, Eslovaquia, Suiza, EE.UU, Argentina, Canadá, México, Brasil, Bolivia, Taiwan, Australia, Mozambique, Tanzania y República Sudafricana.

Este trabajo forma parte del proyecto PID2020-112506GB-C42 financiado por la Agencia Estatal de Información.

Índice de figuras

Figura 1.1.	El asentamiento fortificado de Roc de Pampelune, a partir de SCHNEIDER, 2015.	24
Figura 1.2.	Edificio monumental de Monte Barro (BROGIOLO y CHAVARRÍA ARNAU, 2005) . .	25
Figura 1.3.	Topografía de Viladonga (TEJERIZO GARCÍA <i>et al.</i> , 2019)	26
Figura 1.4.	Espacios domésticos junto a la muralla de Puig Rom (PALOL, 2004: 43)	27
Figura 1.5.	Principales asentamientos rurales fortificados en la Meseta del Duero: 1) Amaya; 2) Bernardos (Virgen del Castillo); 3) Carpio-Bernardo; 4) Castro de Yecla (Santo Domingo de Silos); 5) Castro Ventosa/Bergido; 6) Cerro de la Virgen de Tormejón; 7) Cozanza; 8) El Castellón; 9) El Cortinal de San Juan; 10) El Cristo de San Esteban; 11) La Cabeza de Navasangil; 12) La Morterona; 13) Las Merchanas; 14) Lerilla; 15) Monte Cildá; 16) Poza de la Sal; 17) Tedeja; 18) Tintinholo; 19) Suellacabras; 20) Yecla de Yeltes	29
Figura 1.6.	Muralla de Virgen del Castillo (Bernardos, Segovia)	30
Figura 1.7.	Cerámica estampillada. Vasija de cerámica estampillada, tipo <i>dolium</i> , de El Cortinal de San Juan (Salvatierra de Tormes, Salamanca)	30
Figura 1.8.	Fragmento de pizarra numeral con representación de un animal en la parte superior, procedente de Lerilla (Zamarra, Salamanca). Museo Catedralicio de Ciudad Rodrigo, n.º 329.	31
Figura 1.9.	Vaina de cuchillo «Simancas» procedente de Yecla la Vieja (MARTÍN VALLS, 1982: 192)	32
Figura 1.10.	El castro de Tintinholo (Guarda, Portugal). Fotografía de Catarina Tente	35
Figura 1.11.	Ortofoto Peña Amaya (Sotresgudo, Burgos) [Juan Antonio Quirós Castillo, reproducida con autorización del autor]	37
Figura 1.12.	Murallas de Castro Ventosa- <i>Bergidum</i> (Cacabelos, León), © José Antonio Gil Martínez, Wikimedia Commons	38
Figura 1.13.	Planimetría de La Cabeza de Navasangil, con indicación de la estructura 2 (CABALLERO ARRIBAS y PEÑAS PEDRERO, 2012: 223)	39
Figura 2.1.	Localización geográfica del poblado de El Castellón en la provincia de Zamora	48
Figura 2.2.	Vista área del yacimiento de El Castellón, desde la zona Oeste	50
Figura 2.3.	Plano de ubicación de los sondeos arqueológicos	50
Figura 2.4.	Cara interna de la muralla principal, localizada en la zona Norte del poblado (fotografía: ZamoraProtohistórica)	52
Figura 2.5.	Planimetría del complejo habitacional del Sondeo 3.	53
Figura 2.6.	Oveja localizada en la esquina Suroeste de la Estancia 03 (fotografía: ZamoraProtohistórica)	54
Figura 2.7.	Fase A de utilización del Horno 04 (fotografía: ZamoraProtohistórica)	54
Figura 2.8.	Planimetría del complejo habitacional de la vivienda Sur (Sondeo 7)	55
Figura 2.9.	Banco corrido situado en la zona Noreste del Sondeo 7, donde se localizaban varias cerámicas <i>in situ</i> (fotografía: ZamoraProtohistórica)	56
Figura 2.10.	Vista desde el Oeste del Horno 02 del Sondeo 1 (fotografía: ZamoraProtohistórica) . . .	58

Figura 3.1.	Ubicación del Abrigo del Castellón y Castro del Castellón	68
Figura 3.2.	Representaciones de barras verticales, situadas en la zona exterior del abrigo.	68
Figura 3.3.	Antropomorfo itifático, situado en el panel interior izquierdo	69
Figura 3.4.	Procedimiento de realce y calco digital (fotografía: Arbotante Patrimonio e Innovación S.L.)	70
Figura 3.5.	Trabajo de documentación y registro del Arte Rupestre Esquemático del Abrigo de El Castellón	71
Figura 3.6.	Ubicación de los sondeos 1, 3 y 7 en El Castellón (sondeos con hallazgos de la Edad del Hierro)	75
Figura 3.7.	Estructura de la Edad del Hierro bajo área metalúrgica (sondeo 1)	76
Figura 3.8.	Detalle de las hileras de muro en esquina	76
Figura 3.9.	Materiales cerámicos del Hierro hallados en el sondeo 1	77
Figura 3.10.	Hallazgos de cerámica en sondeos 3 y 7	78
Figura 3.11.	Comparativa de formas de cerámica celtibérica: 1 y 2. forma cerámica VIII, vaso carenado de la necrópolis de Padilla de Duero, según Sanz Mínguez, 1997; 3. forma carenada de El Castellón, dibujo de Patricia Fuentes Melgar, 2016.	79
Figura 3.12.	Paralelismos en motivos decorativos lineales en entornos vacceos y celtibéricos del valle del Duero. A. El castellón; B. Uxama (GARCÍA MERINO, 1990); C y D. Nivel III del poblado V de Cuéllar (BARRIO MARTÍN, 1993); E y F. Nivel IV del poblado de Las Quintanillas de Padilla (GÓMEZ PÉREZ y SANZ MÍNGUEZ, 1995).	80
Figura 3.13.	Vista general del yacimiento de El Castellón, situado a orillas del río Esla (fotografía: Luis&AnaFoto)	84
Figura 3.14.	Vivienda central (Sondeo 3) durante la Fase III-A.	86
Figura 3.15.	Vista general de la Estancia 05 correspondiente al conjunto habitacional central.	86
Figura 3.16.	Fases III-B1 y III-B2 documentadas en la vivienda central (Sondeo 3)	88
Figura 3.17.	Horno circular, localizado en la zona Sur de la Estancia 08 (fotografía: ZamoraProtohistórica)	89
Figura 3.18.	Enterramiento de un ovicáprido en la Estancia 03 de la Vivienda Central, durante la Fase III-B	90
Figura 3.19.	Planimetría del complejo habitacional de la vivienda Sur (Sondeo 7)	90
Figura 3.20.	Restos de semillas localizadas en la Estancia 02 del Sondeo 7 (fotografía: CSIC).	92
Figura 3.21.	Cerámica de almacenamiento de semillas localizada en el Sondeo 7, asociada al siglo VI d.C. (Fase III-B) (Fotografía: José Carlos Sastre Blanco)	93
Figura 3.22.	Vista aérea del gran edificio religioso del Sondeo 11	96
Figura 3.23.	Enterramiento infantil, situado en el interior de la nave central del Sondeo 11 (Tumba II)	97
Figura 4.1.	Magnetómetro de protones Geometrics G856AX.	105
Figura 4.2.	Magnetograma del sondeo 201301, orientado en un eje EO, en el que se aprecia una estructura rectilínea y cuatro piezas metálicas de pequeño tamaño.	106
Figura 4.3.	Magnetograma del sondeo 201302	107
Figura 4.4.	Magnetograma correspondiente al sondeo 201303	108
Figura 4.5.	Magnetograma del sondeo 201304	109
Figura 4.6.	Toma de datos en el sondeo magnetométrico 201304	110
Figura 4.7.	Barrido electromagnético en el sondeo 201401	110
Figura 4.8.	Magnetograma del sondeo 201401, orientado en un eje NS, en el que se aprecia una alteración magnetométrica de planta alargada	111
Figura 4.9.	Vista general del sondeo 201402	112
Figura 4.10.	Magnetograma del sondeo 201402	112
Figura 4.11.	Magnetograma correspondiente al sondeo 201403	113
Figura 4.12.	Magnetograma del sondeo 201404	114

Figura 4.13.	Magnetograma del sondeo 201405.....	115
Figura 4.14.	Magnetograma del sondeo 201406.....	116
Figura 4.15.	Magnetograma del sondeo 201407.....	117
Figura 4.16.	Toma de datos magnetométricos en el sondeo 201408.....	118
Figura 4.17.	Magnetograma del sondeo 201408.....	119
Figura 4.18.	Magnetograma del sondeo 201409.....	120
Figura 4.19.	Magnetograma del sondeo 201410.....	121
Figura 4.20.	Vista general del Sondeo 7 desde la zona oeste.....	122
Figura 4.21.	Vista general del sondeo 8, con la presencia del elemento murario y el nivel de circulación.....	123
Figura 4.22.	Distribución de sondeos magnetométricos en el interior y exterior del poblado.....	125
Figura 4.23.	Resultados obtenidos sobre la planta general del yacimiento en la campaña de 2013 ..	126
Figura 4.24.	El Castellón (Santa Eulalia de Tábara, Zamora). Localización del Área Metalúrgica en el yacimiento (Cortesía de ZAMORA PROTOHISTÓRICA).....	130
Figura 4.25.	El Castellón. Localización de los Sondeo 1 y 8 (Cortesía de ZAMORA PROTOHISTÓRICA).....	130
Figura 4.26.	El Castellón, Sondeos 1 y 8. Resultado comparativo teniendo en cuenta el NISP.....	133
Figura 4.27.	El Castellón, Sondeo 1. Valva de una vieira.....	138
Figura 4.28.	El Castellón, Sondeo 8. Mandíbula derecha de ovicaprino con marca de corte (ampliación $\times 8$).....	140
Figura 4.29.	El Castellón, Sondeo 1. Ulna de perro con marcas de corte (ampliación $\times 8$).....	141
Figura 4.30.	El Castellón, Sondeo 1. Húmero de gato, con marca de corte (ampliación $\times 8$).....	141
Figura 4.31.	El Castellón, Sondeo 1. Tibiotarso de galliforme con marca de corte (ampliación $\times 8$) ..	142
Figura 4.32.	El Castellón, Sondeo 1. Diferentes tipos de coloración, causadas por la termoalteración de la diáfisis de tres huesos.....	143
Figura 4.33.	El Castellón, Sondeo 1. Metacarpo de bóvido con acción de carnívoros.....	145
Figura 4.34.	El Castellón, Sondeo 8. Garra de oso.....	147
Figura 4.35.	El Castellón, Sondeo 1. Costilla con diferentes tipos de coloración, causadas por la termoalteración en sus extremos.....	147
Figura 4.36.	Esquema del campo magnético terrestre y su representación vectorial donde D es la declinación, I la inclinación y F la intensidad.....	152
Figura 4.37.	Imágenes de las estructuras muestreadas a)-e) correspondientes a EC1, EC2, EC3, EC4, EC6 y f) localización del yacimiento de El Castellón.....	153
Figura 4.38.	Diagramas de Zijderveld: a) muestra con una componente después de eliminar la viscosa y b) muestra con dos componentes A y B. Diagramas de Arai y Zijderveld asociado (arriba derecha) de dos muestras: c) muestra válida para cálculo de paleointensidad, d) muestra rechazada.....	155
Figura 4.39.	Estereogramas con las direcciones de las estructuras estudiadas junto con su media y su semiángulo de confianza al 95% (cruz y círculo en rojo).....	155
Figura 4.40.	Curva de variación paleosecular de Molina-Cardín <i>et al.</i> (2018) representada en negro junto con su error en gris: declinación a), inclinación b) e intensidad c), junto con los datos de El Castellón (rojo), resto de Iberia (azul), Francia y Marruecos (naranja) y datos históricos (verde).....	157
Figura 4.41.	Datación arqueomagnética del hogar EC6: a) y b) curvas patrón de declinación e inclinación frente al tiempo (en rojo) junto con la dirección de EC6 (línea horizontal gruesa en azul) y su banda de error (líneas horizontales finas en verde). Densidades de probabilidad al 95 % para la declinación c), inclinación d) y combinada f). e) Resumen de los datos de la datación arqueomagnética.....	158
Figura 4.42.	Localización del sector metalúrgico de El Castellón (Sondeo 1).....	162
Figura 4.43.	Vista general de los hornos del sector metalúrgico (Sondeo 1).....	162
Figura 4.44.	Resultados de las analíticas por ICP-OES para las muestras recogidas (Antonio José Criado Portal).....	163

Figura 4.45.	Localización de los principales topónimos relacionados con la minería del hierro.	164
Figura 4.46.	Resultado de los análisis de muestras de mineral de hierro de El Castellón y de la Sierra de la Culebra	164
Figura 4.47.	Muestra de las escorias y mineral de hierro analizados.	165
Figura 4.48.	Cuchillo de hierro procedente del yacimiento de El Castellón.	167
Figura 4.49.	Osculatorio realizado en bronce, procedente de la vivienda Central (Sondeo 3).	168
Figura 4.50.	Cascabel del bronce, después del proceso de restauración.	172
Figura 4.51.	Óxidos e hidróxidos en hierro (rojos y negros y naranjas en foto derecha).	173
Figura 4.52.	Tumba II. Localizada en la nave central del edificio religioso	178
Figura 4.53.	Huesos pélvicos del sujeto 1 de la Tumba 1	181
Figura 4.54.	Maxila del infantil procedente de la Tumba I.	183
Figura 4.55.	Mandíbula del infantil de la Tumba II	183
Figura 4.56.	Fragmentos craneales del infantil de la Tumba II. Se observa una porosidad bien delimitada en algunas áreas de su exocráneo.	184
Figura 4.57.	Lesiones osteolíticas relacionadas posiblemente con un quiste dérmico, presentes en el cráneo del infantil de la Tumba II.	184
Figura 4.58.	Intervenciones realizadas en El Castellón: planimetría general con indicación de los diferentes sondeos y localización geográfica del yacimiento (planta original de Patricia Fuentes Melgar modificada por Alberto Martín Esquivel).	188
Figura 4.59.	Moneda Cat. n.º 4 en la UE 11.014 (fotografía: Asociación Científico-Cultural Zamora Protohistórica)	190
Figura 4.60.	Vista de la UE 11.017 (fotografía: Asociación Científico-Cultural Zamora Protohistórica) .	190
Figura 4.61.	Distribución cronológica organizada por subfases (III-C2 a 5) de las monedas halladas en el Sondeo 11, Sector F de El Castellón	191
Figura 4.62.	Comparativa entre la cronología de emisión y la de la subfase (deposición primaria y secundaria) donde fueron halladas las monedas del Sondeo 11, Sector F de El Castellón . . .	192
Figura 4.63.	Planta del Sondeo 11, Sector F de El Castellón con localización de las monedas representadas según la subfase e indicación de las diversas UUEEMM y sepulturas (planta original de Patricia Fuentes Melgar modificada por Alberto Martín Esquivel)	194
Figura 4.64.	Monedas localizadas en el Sondeo 11, Sector F de El Castellón.	196
Figura 4.65.	Cerámica de almacenamiento localizada en los niveles de ocupación correspondientes al siglo v, en la Estancia 02 de la vivienda Sur (Sondeo 7)	202
Figura 4.66.	Cerámicas localizadas en la Estancia 02 de la vivienda Sur (Sondeo 7), correspondientes a la fase del siglo vi	202
Figura 4.67.	Sigillata tardía (1-6) y producciones grises estampilladas (7-12) (dibujo: Patricia Fuentes Melgar)	204
Figura 4.68.	Producciones grises estampilladas (13-16), cerámicas no depuradas de mesa (17-18, 20-21) y de almacenamiento (19, 22) (dibujo: Patricia Fuentes Melgar)	208
Figura 4.69.	Producciones no depuradas de almacenamiento y mesa. (dibujo: Patricia Fuentes Melgar).	209
Figura 4.70.	Producciones de almacenamiento (31-34) y mesa (30) (dibujo: Patricia Fuentes Melgar)	210
Figura 4.71.	Producciones pertenecientes al siglo vi de mesa (36-40, 43), almacenamiento (35, 42) y transformación de alimentos ¿quesera? (41) (dibujo: Patricia Fuentes Melgar)	213
Figura 4.72.	Producciones de almacenamiento (dibujo: Patricia Fuentes Melgar).	214
Figura 4.73.	Producciones del siglo v	216
Figura 4.74.	Producciones del siglo vi	217
Figura 5.1.	Planimetría del complejo habitacional del Sondeo 3.	220
Figura 5.2.	Vista general de la Estancia 05, con el enlosado y los bancos corridos (fotografía: ZamoraProtohistórica).	222

Figura 5.3.	Planimetría del complejo habitacional de la vivienda Sur (Sondeo 7)	223
Figura 5.4.	Ovicáprido situado en la esquina Suroeste de la Estancia 02 en el Sondeo 3 (fotografía: ZamoraProtohistórica)	224
Figura 5.5.	Horno circular, localizado en la zona Sur de la Estancia 08 (fotografía: ZamoraProtohistórica)	225
Figura 5.6.	Restos de semillas localizadas en la Estancia 02 del Sondeo 7 (fotografía: CSIC)	227
Figura 5.7.	Reconstrucción de la Casa Sur del Cristo de San Esteban (ilustración: González Sevilla / DOMÍNGUEZ BOLAÑOS, NUÑO GONZÁLEZ, 2014: 283. Figura 5)	230
Figura 5.8.	Vista general de las estructuras habitacionales de La Cabeza de Navasangil (Solosancho, Ávila). (CABALLERO ARRIBAS, PEÑAS PEDRERO, 2012: 215. Fig 10.2)	231
Figura 5.9.	Estructuras habitacionales en el yacimiento de la Dehesa de Navalvillar (Colmenar Viejo, Madrid) (LÓPEZ QUIROGA, 2008)	233
Figura 5.10.	Podadora de hierro localizada en la Estancia 01 del Sondeo 11 (fotografía: José Carlos Sastre Blanco)	237
Figura 5.11.	Restos de ovicaprinos procedentes de la vivienda central (Sondeo 3) (UE: 320) (fotografía: José Carlos Sastre)	238
Figura 5.12.	Esqueleto de oveja (<i>Ovis aries</i>) localizado en la Estancia 03 de la vivienda central (Sondeo 3) (UE: 3066) (Fotografía: ZamoraProtohistórica)	238
Figura 5.13.	Quesera localizada en la vivienda central (Sondeo 3) (UE: 386) (dibujo: Patricia Fuentes Melgar)	240
Figura 5.14.	Imagen izquierda. Punta de jabalina descubierta en la vivienda central (Sondeo 3, UE: 300). Imagen derecha. Punta de flecha hallada en la vivienda sur (Sondeo 7) (fotografía: José Carlos Sastre)	241
Figura 5.15.	Garra de oso (<i>Ursidae</i>) localizada en la vivienda Sur (Sondeo 7) (fotografía: José Carlos Sastre)	242
Figura 5.16.	Anzuelo de bronce localizado en la Estancia 01 del Sondeo 11	242
Figura 5.17.	Valva derecha de <i>Pecten maximus</i> localizada en la zona metalúrgica (Sondeo 1) (fotografía: Esteban Álvarez)	243
Figura 5.18.	Fragmento de espada de hierro (UE: 11.075) (18/9/275)	246
Figura 5.19.	Cuentas de collar de pasta vítrea localizadas en el complejo habitacional central (Sondeo 3) (Fotografía: José Carlos Sastre)	248
Figura 5.20.	Cuenta de collar recuperada en el Sondeo 7 (530-570 AD)	248
Figura 5.21.	Rueca de dedo («osculatorio»), localizada en la vivienda central, Sondeo 3 (dibujo: Patricia Fuentes Melgar)	249
Figura 5.22.	Cuencos derivados de la forma Isings 116 con decoración de bandas negras bajo el borde.	250
Figura 5.23.	Fragmento correspondiente a una diatreta, localizado en la vivienda Sur (Sondeo 7)	250
Figura 5.24.	Pizarras numerales recuperadas en el asentamiento	252
Figura 5.25.	Vista aérea del yacimiento de El Castellón (Santa Eulalia de Tábara, Zamora) (fotografía: Luis&Ana Foto)	253
Figura 5.26.	Cara interna de la muralla principal, localizada en la zona norte del poblado (fotografía: ZamoraProtohistórica)	255
Figura 5.27.	Excavación efectuada en la muralla Norte (Sondeo 5) (fotografía: ZamoraProtohistórica)	256
Figura 5.28.	Muralla del Cerro del Castillo (Bernardos, Segovia)	260
Figura 5.29.	Cubo de la muralla del yacimiento de Monte Cildá (Olleros de Pisuerga, Palencia)	261
Figura 5.30.	Cuenco con decoración estampillada, localizado en la vivienda central (Sondeo 3) (dibujo: Patricia Fuentes)	265
Figura 5.31.	Anillo circular de cinta, realizado en bronce. Localizado en la vivienda central (Sondeo 3)	268
Figura 5.32.	Hebilla de cinturón de bronce, procedente de El Castellón	268

Índice de tablas

Tabla 2.1.	Tabla cronológica sobre la evolución del poblado de El Castellón.	59
Tabla 3.1.	Tabla cronológica sobre la evolución del poblado de El Castellón.	98
Tabla 4.1.	Tabla resumen de los sondeos magnéticos realizados, con detalle de coordenadas UTM en ETRS89, Huso 30 y superficie	105
Tabla 4.2.	El Castellón, Sondeos 1 y 8. Resultado general del NISP y el NMI.	133
Tabla 4.3.	El Castellón, Sondeos 1 y 8. Resultado desglosado del estudio taxonómico de los mamíferos.	134
Tabla 4.4.	El Castellón, Sondeos 1 y 8. Resultado desglosado del estudio de edades en mamíferos.	135
Tabla 4.5.	El Castellón, Sondeos 1 y 8. Resultado desglosado del estudio de perfiles anatómicos en mamíferos	136
Tabla 4.6.	El Castellón, Sondeos 1 y 8. Resultado desglosado del estudio taxonómico de las aves.	137
Tabla 4.7.	El Castellón, Sondeos 1 y 8. Resultado desglosado del estudio de edades y perfiles anatómicos en aves.	138
Tabla 4.8.	El Castellón, Sondeos 1 y 8. NR con marcas antrópicas y con marcas provocadas por la acción de los carnívoros	139
Tabla 4.9.	El Castellón, Sondeo 1. Tipos de modificaciones antrópicas en los diferentes taxones.	139
Tabla 4.10.	El Castellón, Sondeo 8. Tipos de modificaciones antrópicas en los diferentes taxones.	140
Tabla 4.11.	El Castellón, Sondeos 1 y 8. NR con marcas de termoalteración	142
Tabla 4.12.	El Castellón, Sondeo 1. NR y tipos de modificaciones causadas por carnívoros en los diferentes taxones	144
Tabla 4.13.	El Castellón, Sondeo 8. NR y tipos de modificaciones causadas por carnívoros en los diferentes taxones	144
Tabla 4.14.	El Castellón, Sondeos 1 y 8. NR con alteración natural	145
Tabla 4.15.	Direcciones medias de este estudio. Sitio: Nombre de la estructura estudiada; Edad (año), Edad asignada; Método de datación (C14 , radiocarbono; Arch , criterios arqueológicos); N , Número de muestras independientemente orientadas para el cálculo de la dirección media; n , Número de especímenes válidos; n_{rej} , Número de especímenes rechazados; D_g , Declinación media; I_g , Inclinación media; k , Parámetro de precisión; α₉₅ , Semiángulo de confianza al 95%; Índices: i , inferior, s superior.	156
Tabla 4.16.	Arqueointensidades obtenidas en este estudio. Sitio: Nombre de la estructura estudiada; Edad (año), Edad asignada; Método de datación (C14, radiocarbono; Arch, criterios arqueológicos); n , Número de especímenes válidos; n_{rej} , Número de especímenes rechazados; F ± σ_F (μT), Intensidad media y desviación estándar antes de realizar la corrección por la anisotropía de la TRM; F_a ± σ_{Fa} (μT), Intensidad media y desviación estándar después de realizar la corrección por la anisotropía de la TRM; VADM (ZAm ²), Valor del momento del dipolo virtual axial. Índice: h , componente de alta temperatura de desbloqueo, i , inferior, s superior.	156
Tabla 4.17.	Medidas (en mm.) de los huesos pélvicos del sujeto 1 perteneciente a la Tumba I	180

Tabla 4.18.	Medidas (en mm.) de las extremidades superiores del sujeto 1 de la Tumba I.....	181
Tabla 4.19.	Medidas (en mm.) de las extremidades inferiores del sujeto 1 de la Tumba I.....	182
Tabla 4.20.	Medidas (en mm.) de los huesos pélvicos del sujeto de la Tumba II.....	185
Tabla 4.21.	Medidas (en mm.) de las extremidades superiores y clavícula del sujeto de la Tumba II	185
Tabla 4.22.	Medidas (en mm.) de las extremidades inferiores del sujeto de la Tumba II	185
Tabla 4.23.	Cronología asignada a las subfases del Sondeo 11, Sector F de El Castellón	189
Tabla 4.24.	Material numismático de la Fase III-C	191

Índice de gráficas

Gráfica 4.1.	Representación acumulativa de lecturas y líneas magnetométricas	124
Gráfica 4.2.	Representación gráfica de la oscilación de la horquilla magnética (en nT)	124
Gráfica 4.3.	Representación del registro de metales y escorias registrados en prospección magnética	124

Introducción.

Una mirada sobre los asentamientos rurales fortificados en la Meseta del Duero posromana¹

IÑAKI MARTÍN VISO

RESUMEN

Este trabajo sirve como introducción al estudio del yacimiento de El Castellón, como un caso de asentamiento rural fortificado del periodo posromano. En primer lugar, se presentan brevemente algunos ejemplos procedentes del Mediterráneo Occidental, que ponen de manifiesto la pluralidad de situaciones que se engloban bajo esta etiqueta. Posteriormente, se analizan algunos casos regionales ibéricos resaltando la presencia ubicua de este tipo de ocupaciones y su diversidad. El eje de este trabajo es la Meseta del Duero, donde se emplaza el yacimiento de El Castellón. Se realiza una visión general de los datos con los que actualmente se dispone, para señalar la relación de estas ocupaciones con los procesos de afirmación de poderes aristocráticos locales en la zona, algunos de ellos con una estrecha relación con los reinos suevo y visigodo, mientras que otros muchos no se pueden asociar a dinámicas estatales. De nuevo la heterogeneidad regional es un dato a tener en cuenta, aunque siempre dentro del marco de la existencia de una iniciativa elitista que controlaba unos lugares que dominaban espacios comarcales y que funcionaban como auténticos asentamientos y no como meras guarniciones. En ese cuadro, El Castellón ofrece un registro arqueológico de calidad que permitirá disponer de un ejemplo para el estudio, pero no de un modelo.

PALABRAS CLAVE: asentamiento rural fortificado, élites locales, Meseta del Duero, siglos postimperiales.

ABSTRACT

This paper introduces the study of the site of El Castellón, as a case of a fortified rural site from the post-Roman period. First, some examples from the Western Mediterranean are briefly presented, high-

lighting the plurality of situations that fall under this label. Subsequently, some regional Iberian cases are summarized, pointing out the ubiquitous and diversity of this type of occupation and its diversity. The focus of this work is the Duero Plateau, where the site of El Castellón is located. An overview of the data currently available shows these occupations as part of processes of consolidation of local aristocratic powers in the area, some of them with a close relationship with the Swabian and Visigothic kingdoms, while many others cannot be associated with State dynamics. Once again, regional diversity is a fact to be taken into account, although always within the framework of the existence of an elite initiative that controlled places that dominated regional spaces and functioned as genuine settlements rather than mere garrisons. In this context, El Castellón offers a quality archaeological record that will provide an example for study, but not a model.

KEYWORDS: fortified rural site, local elite, Duero's Plateau, postimperial period.

1. LA OCUPACIÓN DE ASENTAMIENTOS RURALES FORTIFICADOS EN EL MEDITERRÁNEO OCCIDENTAL POSROMANO

En el periodo que se abre tras el final del horizonte imperial romano, surgieron en el Mediterráneo Occidental una serie de fenómenos que deben entenderse en el marco de la eclosión de nuevas realidades sociales. El análisis del poblamiento, de sus componentes y ordenación, deja patente ese proceso, que implicó una compleja y variada trama de continuidades, transformaciones y rupturas. Uno de los fenómenos más notorios por su visibilidad es la formación de asentamientos fortificados, un proceso que ha sido identificado como *emperchement* o *riconquista delle sommità*. Las evidencias materiales son conocidas desde hace tiempo (HODGES,

¹ Este trabajo se ha realizado en el marco del proyecto PID2020-112506GB-C42 financiado por la Agencia Estatal de Investigación.

BARKER y WADE, 1980), pero también han dejado su huella en algunos relatos, como sucede con las *Historias* de Gregorio de Tours, al referirse a algunos lugares de la antigua Auvernia. Es una situación que afectó a un amplio conjunto de regiones durante los primeros siglos de la Alta Edad Media.

Esta diversidad no puede ser soslayada, ya que, detrás de una etiqueta homogeneizadora, se esconde una extensa gama de situaciones que no son equivalentes entre sí. En realidad, este fenómeno se basa en la constatación de la presencia de lugares dotados de murallas en ámbitos rurales, unos rasgos muy vagos que permiten la inclusión de yacimientos muy distintos. Por otro lado, las interpretaciones han estado profundamente influidas por las tradiciones de las que bebían los distintos investigadores. En cualquier caso, la cultura material exhumada, la propia elaboración y mantenimiento de las murallas e incluso la localización de

estos sitios invita a pensar en su relación con el estado o algún tipo de aristocracia que habría organizado y gestionado esta ocupación (BROGIOLO y CHAVARRÍA ARNAU, 2005).

Una zona donde se han detectado varios de estos asentamientos es el Languedoc. Aunque la cronología es muy homogénea (siglos v-vi), la variedad tipológica es también manifiesta. Así se han podido identificar fortalezas militares que podrían relacionarse con el control de fronteras y rutas; otras fortificaciones de dimensiones intermedias, a veces —pero no siempre— asociadas a un asentamiento y que podrían ser graneros fortificados; también se reconocen asentamientos rurales con defensas no muy elaboradas; y finalmente grandes espacios fortificados, que incluyen asentamientos e incluso iglesias en su interior (SCHNEIDER, 2004). Uno de estos últimos lugares es Roc de Pampelune (fig. 1.1), un lugar que dispone de

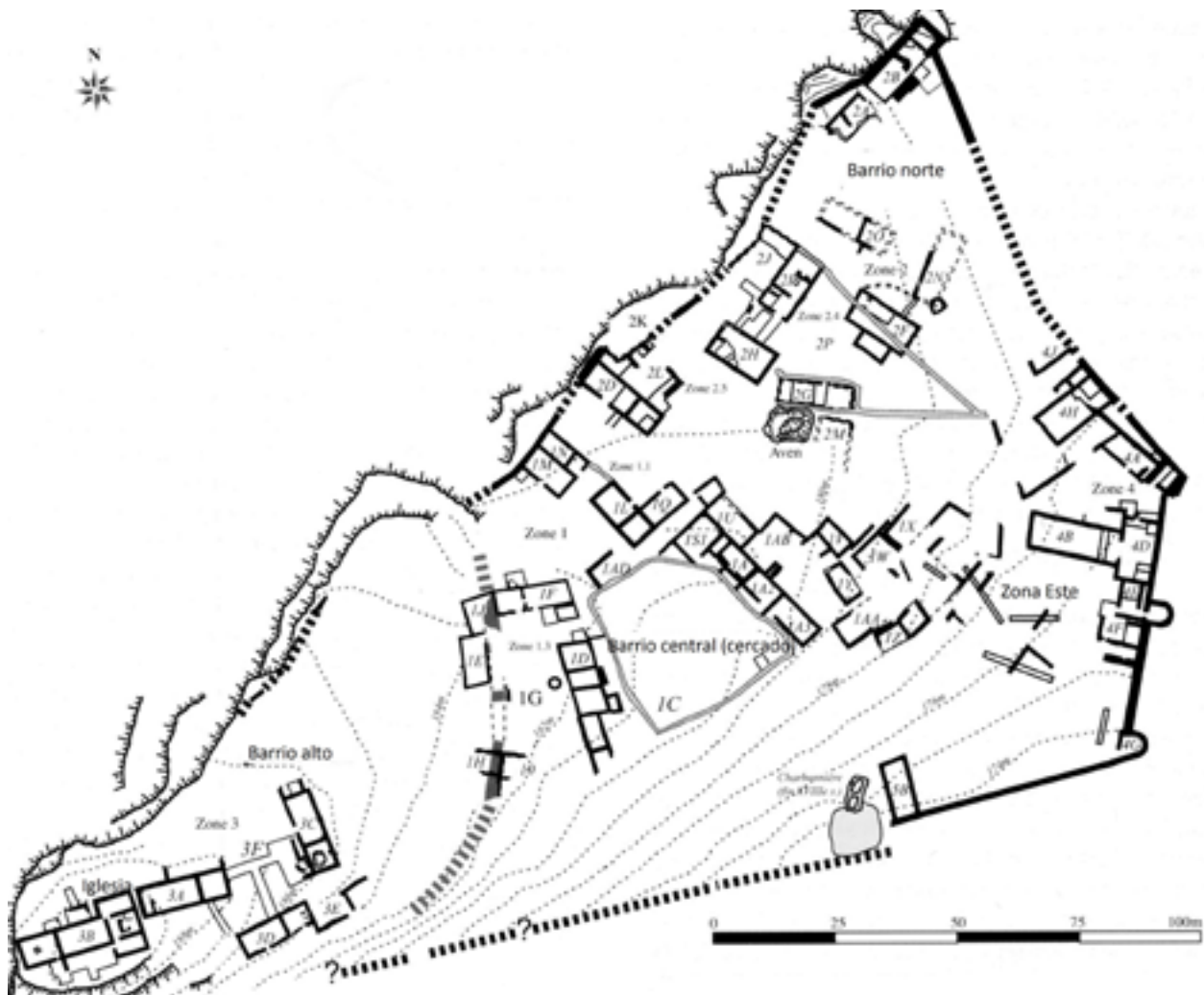


Figura 1.1. El asentamiento fortificado de Roc de Pampelune, a partir de SCHNEIDER, 2015

un plano regular, incluyendo un espacio central destinado quizá al ganado, y una iglesia bautismal, así como una fuerte actividad artesanal que habla de una economía muy diversificada (SCHNEIDER, 2005: 294). Otro ejemplo sería Saint-Blaise, emplazado en una zona lacustre junto al mar, entre Arles y Marsella, con una ocupación particularmente intensa en el siglo VI. Aquí se ha podido detectar una importante actividad artesanal, a lo que se añade la presencia de cerámicas importadas y de calidad y de numerosa moneda de plata, hallazgos que vinculan a los habitantes de este sitio, o al menos a parte de ellos, con redes de intercambio de escala suprarregional. Al igual que Roc de Pampelune, se ha podido identificar la presencia de una iglesia, una evidencia de la canalización de funciones religiosas en este lugar (DÉMIANS D'ARCHIMBAUD, 1994). Estos lugares representan sin duda la existencia de iniciativas aristocráticas en el marco de la reorganización del paisaje rural tras el periodo imperial. Pero no debe obviarse que coexistían con otros patrones que conjugaban la presencia de espacios habitados y una fortificación técnicamente sencilla. Es el caso de Camp de Armes, donde el recinto fortificado englobaba una serie de edificios que pueden asimilarse con unidades domésticas, cuya economía presentaba una menor complejidad que en los casos anteriores (SCHNEIDER, 2005: 297).

El panorama en el norte de Italia es algo distinto. En las áreas apenínicas de la región de Emilia, aparecen citados en los textos escritos algunas fortificaciones. Su surgimiento se ha relacionado con los cambios en la configuración de las jerarquías sociopolíticas en zonas donde el poder urbano llegaba claramente debilitado (SANTOS SALAZAR, 2006). Pero en otras zonas los sitios fortificados parecen responder al control político sobre el territorio, centros administrativos y militares que podrían haber sido construidos en madera (BROGIOLO y GELICHI, 1996). Cuando se erigieron en piedra, se observa el uso de técnicas estandarizadas y de cierta calidad, formando sistemas de defensa complejos. La recuperación de cerámicas de importación y la existencia de almacenes de grano u *horrea* los relacionarían con la recaudación fiscal y con la afirmación territorial del estado (BROGIOLO, 2011: 94-97). El ejemplo representativo sería Sant'Antonino di Pertini, en Liguria (fig. 1.2), que debe identificarse con un «lugar central» creado por el poder bizantino (MANONNI y MURIALDO, 2001). Algunos de estos

lugares pudieron haber pasado a un control directo a manos de aristócratas en el siglo VI, que pudieron construir edificios monumentales, como el de Monte Barro; pero esa aristocracia irá perdiendo interés en tales fortificaciones, debido a que su riqueza y poder se basaba cada vez más en los bienes fundiarios (BROGIOLO, 2006: 261-263).

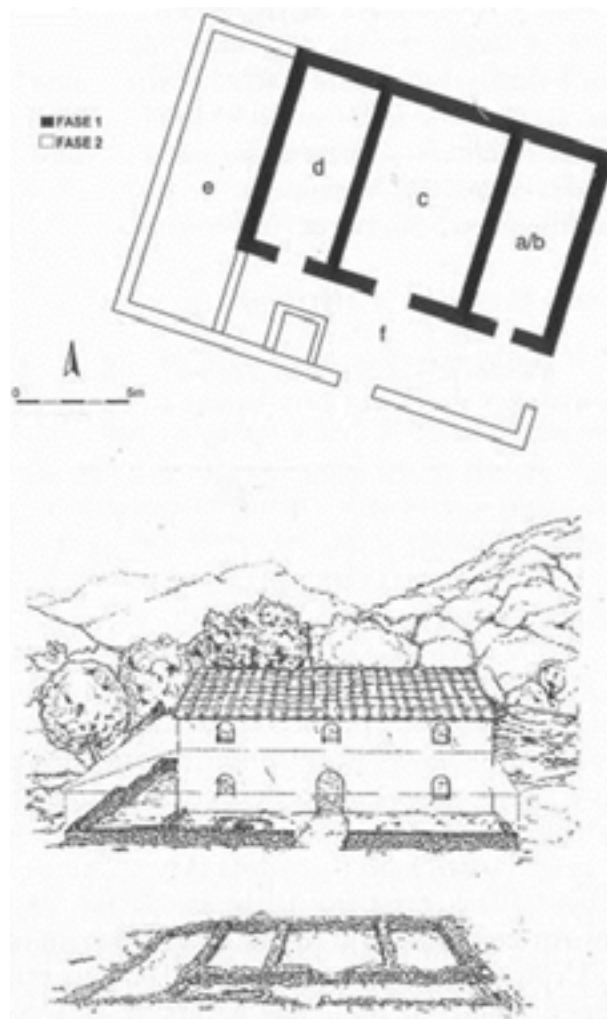


Figura 1.2. Edificio monumental de Monte Barro (BROGIOLO y CHAVARRÍA ARNAU, 2005)

En la Península Ibérica también se han detectado ocupaciones de este tipo en diversas regiones (MARTÍN VISO, 2012: 42-45). Pero de nuevo debe hacerse hincapié en la diversidad. En el extremo noroeste peninsular, se observa la presencia de estos lugares fortificados que se han relacionado con la mención del cronista Hildacio a los *castella tutiora* en los que se refugiaron los habitantes ante la llegada de los bárbaros

(Hyd. 81). Por consiguiente, se ha defendido una ocupación coyuntural y de poca intensidad, asociada a un momento puntual (RODRÍGUEZ LOVELLE y LÓPEZ QUIROGA, 1999; LÓPEZ QUIROGA, 2004: 218-219; RODRÍGUEZ RESINO, 2005: 164-170). Algunos estudios, sin negar esa interpretación, prestan atención a la pluralidad del fenómeno en esta región; se ha señalado la existencia de algunos lugares fortificados asociados al control de rutas, pero sobre todo han resaltado el papel de algunos grandes recintos, en ocasiones asociados a antiguos castros de la Edad del Hierro, como Santa Tegra (A Guarda) o San Cibrán de Las (San Amaro). Sus funciones pudieron haber combinado el asentamiento con la jerarquización territorial, como una suerte de «lugares centrales» (SÁNCHEZ PARDO, 2012: 32-38). Una revisión reciente de las ocupaciones del castro de Viladonga (Castro de Rei) (fig. 1.3), uno de los yacimientos paradigmáticos de la cul-

tura castreña galaica, acompañada de una interesante lectura tanto de la estratigrafía como de las fechas radiocarbónicas existentes, parece reforzar esa línea de ocupaciones de antiguos poblados protohistóricos (TEJERIZO GARCÍA, RODRÍGUEZ GONZÁLEZ y FERNÁNDEZ PEREIRO, 2019). En A Cidadela (La Coruña), un completo estudio ha revelado una ocupación posromana dentro de una compleja secuencia que lleva desde el periodo romano a la Plena Edad Media (SÁNCHEZ PARDO *et al.*, 2020). Sin embargo, sigue existiendo una cierta indefinición con respecto al papel que pudieron haber desempeñado este tipo de ocupaciones, una parte de las cuales difícilmente se relaciona con un episodio de violencia: la existencia de monedas tardorromanas —cuyo uso fue frecuente en los siglos v y vi (MAROT, 2000-2001)—, así como de un conjunto importante de cerámicas son acordes con una presencia humana continuada. En cualquier

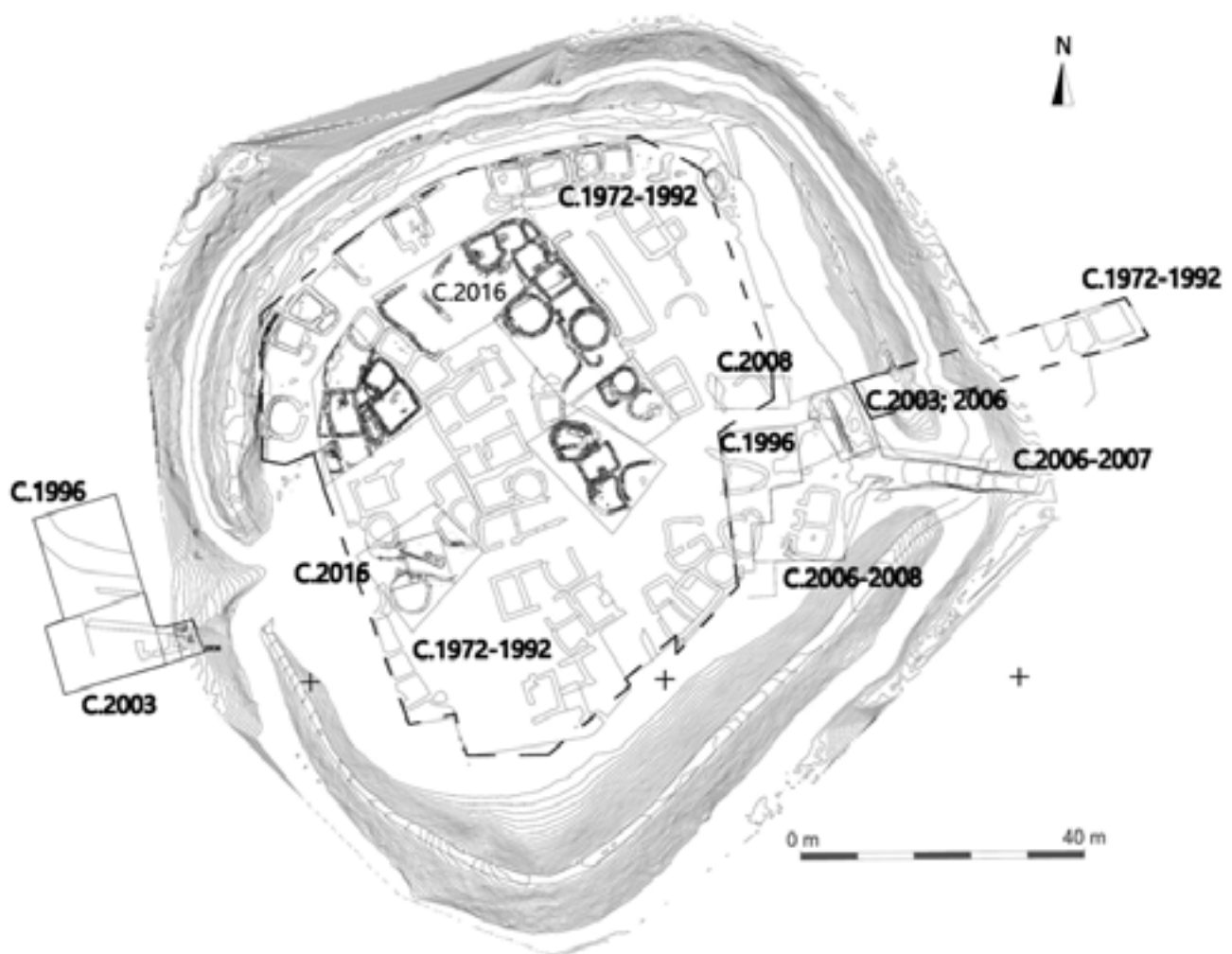


Figura 1.3. Topografía de Viladonga (TEJERIZO GARCÍA *et al.*, 2019)